

床衝撃音レベル低減量測定用試験室スラブのインピーダンス特性について

インピーダンス スラブ 公的試験機関
床衝撃音レベル低減量 損失係数 拘束

正会員 ○中森俊介 ^{*1}	正会員 阿部恭子 ^{*4}
同 平光厚雄 ^{*2}	同 高橋央 ^{*5}
同 田中学 ^{*3}	同 安岡博人 ^{*6}
	同 井上勝夫 ^{*6}

1. はじめに

現在、(財)建材試験センターにおいて、重量床衝撃音レベル低減量(以後、低減量)の実験室測定方法のJIS原案作成作業が行われている。重量衝撃音の場合、対象周波数がモード領域であるため、低減量の測定結果がスラブの振動特性の影響を受けることが考えられる。機関ごとに低減量測定用の試験室の寸法や試験室形態が互いに少しずつ異なるため、インピーダンス測定などにより、スラブの振動特性を把握しておく必要がある。本稿では、住宅の品質確保促進法における試験ガイドラインの附則¹⁾に基づく低減量の測定のための試験室をもつ公的試験機関において、共同で行ったインピーダンス測定の結果について報告する。

2. 試験室の概要

試験室の概要図を図1に示す。スラブ面積が約20m²の壁式鉄筋コンクリート構造であり、各機関とも、厚さ150、200mmの2種類のスラブを有している。スラブのコーナーに周囲を木框で囲った約10m²の試験体施工部が設けてある。測定対象は4機関(A~D)の8試験室とした。試験室仕様には若干の違いがあり、スラブの寸法は(3.6~4.0)×(5.0~5.4)m、天井高は(3.0~3.6)m、試験体施工部は(2.7~2.8)×(3.6~3.7)m、壁厚は200~250mmの範囲である。その他、2室連続型、独立型など、試験室の形態に相違がみられる。

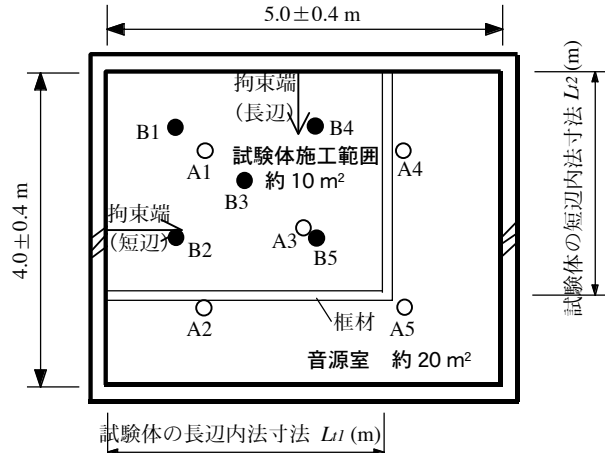
3. 測定方法および解析方法

図2に示すように、インパクトハンマー(衝撃周波数:約350Hz)で衝撃した際の加振点近傍の振動速度を測定した。衝撃力F(N)と振動速度v(m/s)より、駆動点インピーダンスZ=F/v(kg/s)を求めた。基準値をZ₀=1(kg/s)として、レベル表示値L_Z=20·log₁₀(Z/Z₀)(dB)で算出した。衝撃時間内における衝撃力および、振動速度の時系列波形より衝撃時間内応答インピーダンス、サンプリング6000/秒、16384データのFFTにより全時間応答インピーダンスの周波数特性、1/3オクターブバンド分析により1秒間のエネルギー積分値を求め、オクターブバンドごとの全時間応答インピーダンスを算出した。測定ポイントは、図1に示す全体(A1~A5)、框内(B1~B5)、端部(→で表示)とし、計測器および分析器は4機関の測定を通して同じものを使用した。

4. 測定結果

4-1. スラブ中央のインピーダンス特性

表1に全時間応答インピーダンスの周波数特性から読み取った1次固有振動数f₀、スラブ各点(A1~A5、B1~B5)の衝撃時間内応答インピーダンスの平均値、計算値を示す。f₀は、150mmスラブでは35Hz、200mmスラブでは40Hz前後である。実測した衝撃時間内応答インピーダンスは、計算値と概ね一致していることがわかる。図3に機関A~Dの150および200mmスラブ中央(A3)の全時間応答インピーダン



試験体の長辺寸法 L₁ (m)
試験体の短辺寸法 L₂ (m)

図1 試験室の概要図および測定ポイント

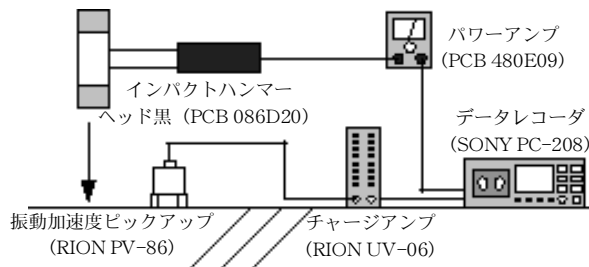


図2 駆動点インピーダンス測定系列

表1 各スラブの1次固有振動数および衝撃時間内応答インピーダンスの測定結果

スラブ厚(mm)	機関	f ₀ (Hz)	実測平均値(dB)	計算値(dB)
150	A	34	112	111.9
	B	36	112	
	C	36	113	
	D	35	113	
200	A	40	117	116.9
	B	43	117	
	C	43	118	
	D	36	116	

計算値は、コンクリートの $E=2.4 \times 10^{10} \text{ N/m}^2$ 、 $\rho=2400 \text{ kg/m}^3$ とした。
 $Z = 2.31 \cdot h^2 \sqrt{\rho \cdot E}$ により求めた。(hはスラブ厚さ)

スを示す。各帯域のモード発現状況により31.5、63Hz帯域では差がみられるものの、似た周波数特性であることがわかる。

4-2. スラブ周辺の拘束

図4に中央部の衝撃時間内応答インピーダンス(表1の実測平均値)を基準としたスラブ端部におけるインピーダンス上昇の結果を示す。横軸は、拘束端からの距離xと、衝撃周

Characteristics of driving point impedance on homogeneous reinforced concrete standard slabs for the test of the reduction of transmitted impact noise by floor coverings.

NAKAMORI Shunsuke, HIRAMITSU Atsuo,
TANAKA Manabu, ABE Kyoko, TAKAHASHI Hisashi,
YASUOKA Hirohito and INOUE Katsu.

波数に対するスラブの曲げ波の波長 λ_b ²⁾の比 (x/λ_b) で整理した。黒塗り記号は 150 mm スラブ、白抜きは 200 mm スラブ、2 本の曲線はスラブ厚ごとに (x/λ_b) の 3 次式により、フィッティングをかけたものである。拘束の程度は、150 mm では平均で 7 dB、200 mm では 5 dB 程度であり、在来スラブ大梁支持の場合³⁾に比べ、小さめである。衝撃点が端部に近づくにつれ、壁厚などの影響により、機関ごとの差は大きくなるが、低減量の測定時に用いる最も拘束が大きい衝撃点 B1 でも 63 Hz 帯域では $x/\lambda_b=0.16$ 程度であるため、機関ごとの差は±1.5 dB 程度に収まるものと考えられる。

4-3. 試験体施工部のインピーダンス分布

低減量測定時の衝撃点となる B1~B5 における全時間応答インピーダンス測定結果および、5 点の算術平均値による比較を行った。代表として、機関 A の 150 mm スラブを図 5 に、機関 D の 150 mm スラブを図 6 に示した。試験室の寸法および形態の違いにより、帯域のモード個数が異なるため、衝撃点における帯域ごとのインピーダンス値の大小関係は機関により異なるが、衝撃点ごとの絶対値の差は、測定対象周波数域で最大となる 63 Hz 帯域でも機関 A~D の中で 3~4 dB 程度に収まっている。

図 7 に示した機関ごとの 5 点平均の結果から、150、200 mm スラブは、ほぼ平行となり、その差は、5 dB 程度である。機関ごとの差も 63 Hz 帯域で 2.5 dB 程度となっている。

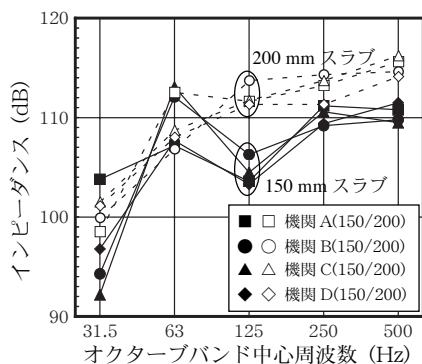


図 3 中央 (A3) インピーダンス
(150 および 200 mm スラブ)

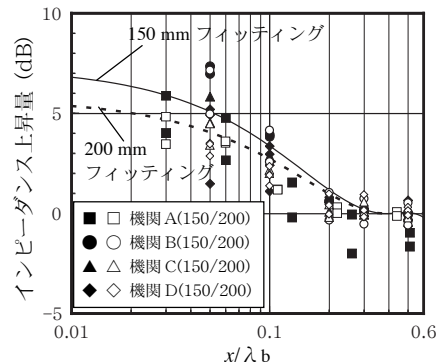


図 4 各スラブのインピーダンス
端部上昇量

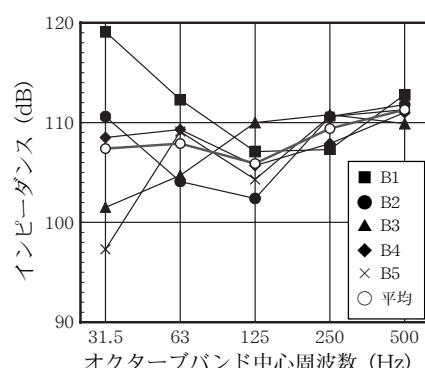


図 6 試験体施工範囲内 5 点の
インピーダンス (機関 D 150mm)

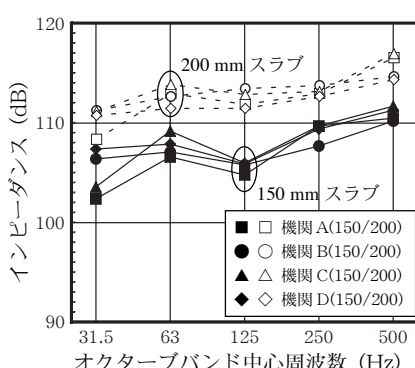


図 7 試験体施工範囲内 5 点の
インピーダンス平均値

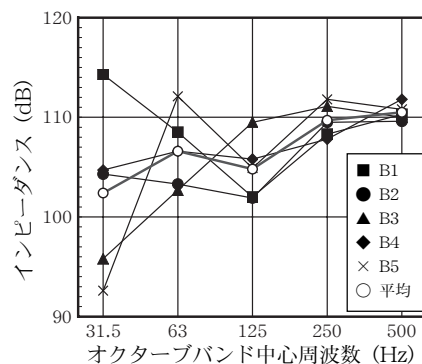


図 5 試験体施工範囲内 5 点の
インピーダンス (機関 A 150 mm)

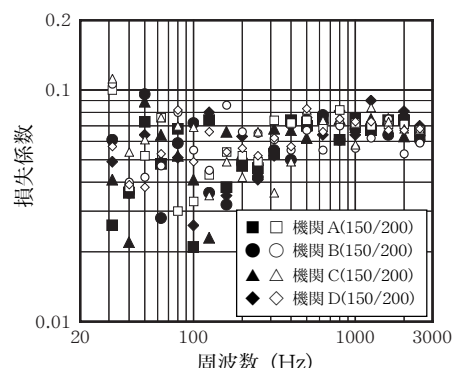


図 8 各スラブにおける損失係数
(1/3 オクターブバンド)

4-4. スラブの損失係数の算出結果

図 1 に示した任意の測定点における振動応答波形を 1/3 オクターブバンドフィルターで濾波し、シュレーダ法によって求めた減衰波形から残響時間 T_R を読み取った。損失係数 η を $\eta = 2.2/(T_R \cdot f)$ の式により算出した (f は 1/3 オクターブバンドの中心周波数)。周波数帯域ごとに平均値を求め、図 8 に示した。拡散領域では、平均すると $\eta=0.06$ 程度となり、機関ごと、スラブ厚ごとで有意な差はみられなかった。ただし、低次のモード領域では $\eta=0.02\sim0.04$ 程度であり、特に 150 mm スラブの場合の損失が小さい傾向があり、薄いスラブに対し、壁の拘束が大きいことを示している。

5. まとめ

4 試験機関において床衝撃音試験室スラブのインピーダンス測定を行った結果、スラブの振動特性は、試験体施工部のインピーダンス分布から、絶対値、周波数特性ともによい対応がとれていることがわかった。今後も、低減量の実験室測定方法に関連した検討を進めていきたい。

参考文献

- 1) 住宅性能評価機関等連絡協議会「遮音測定の結果による音環境に関する試験ガイドライン」2003.9
- 2) 日本建築学会編「建物の遮音設計資料」技報堂出版 1988.8
- 3) 木村翔、井上勝夫、新井昭義「床衝撃音における床スラブインピーダンス特性の予測手法に関する研究」日本建築学会計画系論文集 第 363 号 PP.1-7, 1986.5

*1. 小林理学研究所
*2. 建築研究所
*3. 日本建築総合試験所
*4. 建材試験センター
*5. ベターリビング筑波建築試験センター
*6. 日本大学理工学部

*1. Kobayashi Institute of Physical Research
*2. Building Research Institute
*3. General Building Research Corporation of Japan
*4. Japan Testing Center for Construction Materials
*5. Center for Better Living, Tsukuba Building Test Laboratory
*6. College of Science and Technology, Nihon University